

УДК 519.713

МОДЕЛИРОВАНИЕ КОЛЕБАНИЙ ПЛАВАЮЩЕГО ЛЬДА ПРИ ПОСАДКЕ САМОЛЕТОВ НА ЛЕДОВЫЕ АЭРОДРОМЫ

А. А. Кулешов¹, В. В. Мыррин¹

Рассматривается задача о колебаниях ледяного покрова на поверхности воды под действием динамических нагрузок. Задача описывается моделью поперечных колебаний тонких упругих пластин. Приведен разностный метод ее решения. Обсуждаются результаты численного моделирования прикладной задачи о посадке тяжелых транспортных самолетов на ледовые аэродромы в Антарктиде.

Ключевые слова: модель тонкой упругой пластины, поперечные колебания, разностный метод, численное моделирование.

Введение. В [1] разработан новый разностный метод решения задачи о поперечных колебаниях тонких упругих пластин путем сведения ее к начально-краевой задаче для системы уравнений первого порядка по времени и аппроксимации этой системы двухслойной неявной разностной схемой, а также предложен метод решения построенной системы разностных уравнений и приведены результаты тестовых расчетов. В [2] доказана сильная сходимость построенных в [1] разностных аппроксимаций к обобщенному решению исходной задачи. В [3] приведены результаты численного моделирования процесса распространения поперечных колебаний в плавающем ледяном покрове при движении по нему автомобильного транспорта, а также численно исследована прочность ледяного покрова под действием возникающих напряжений. В настоящей статье приводятся результаты численного моделирования важной прикладной задачи о посадке тяжелых транспортных самолетов на ледовые аэродромы в Антарктиде.

1. Математическая модель задачи и ее разностная аппроксимация. Рассмотрим тонкую упругую изотропную пластину переменной толщины $h(x, y)$, лежащую на упругом (винклеровском) основании и совершающую малые поперечные колебания под действием начального отклонения или внешней силы. Задача о колебаниях такой пластины с общими условиями на криволинейном контуре имеет вид [1, 4, 5]

$$\rho h W_{tt} + \Delta(D\Delta W) - (1 - \sigma)(D_{yy}W_{xx} - 2D_{xy}W_{xy} + D_{xx}W_{yy}) + aW = F, \quad (x, y) \in \Omega. \quad (1)$$

Граничные условия на криволинейном контуре пластины:

$$\begin{aligned} -D\Delta W - D(1 - \sigma)[\sin 2\theta W_{xy} - \sin^2 \theta W_{xx} - \cos^2 \theta W_{yy}] &= M_\Gamma, \quad (x, y) \in \Gamma, \\ -\frac{\partial(D\Delta W)}{\partial n} - (1 - \sigma) \frac{\partial}{\partial l} \left\{ D[\sin \theta \cos \theta (W_{yy} - W_{xx}) + \cos 2\theta W_{xy}] \right\} + \\ + (1 - \sigma)[\sin \theta D_y W_{xx} + \cos \theta D_x W_{yy} - (\sin \theta D_x + \cos \theta D_y)W_{xy}] &= N_\Gamma, \quad (x, y) \in \Gamma. \end{aligned} \quad (2)$$

Здесь $W(x, y, t)$ — поперечный прогиб пластины, отсчитываемый по оси OZ , направленной вниз от срединной плоскости, совмещенной с плоскостью XY и разделяющей толщину пластины $h(x, y)$ пополам; ρ — плотность материала пластины; $D = \frac{Eh^3}{12(1 - \sigma^2)}$ — жесткость пластины при изгибе, или цилиндрическая жесткость; E — модуль упругости; σ — коэффициент Пуассона материала пластины; n — внешняя нормаль к контуру Γ ; l — касательная к контуру; θ — угол между нормалью n и положительным направлением оси OX ; aW — реакция упругого основания (реактивное давление), пропорциональная прогибу пластины по модели Винклера; F — внешняя сила, действующая на поверхности пластины; M_Γ — изгибающий момент и N_Γ — перерезывающая сила, заданные на контуре пластины.

В качестве начальных условий заданы начальное отклонение и начальная скорость пластины:

$$W|_{t=0} = \varphi(x, y), \quad W_t|_{t=0} = \psi(x, y). \quad (3)$$

¹ Институт математического моделирования РАН, Миусская пл., д. 4А, 125047, Москва; А. А. Кулешов, вед. науч. сотр., e-mail: kuleshov@imamod.ru; В. В. Мыррин, аспирант, e-mail: skpss@mail.ru

При построении разностной аппроксимации задачи (1)–(3) в [1] уравнение (1) и граничные условия (2) записаны в другой форме — через моменты и силы [1, 4, 5]:

$$\rho h \frac{\partial^2 W}{\partial t^2} = \frac{\partial^2 M_x}{\partial x^2} - 2 \frac{\partial^2 M_{xy}}{\partial x \partial y} + \frac{\partial^2 M_y}{\partial y^2} - aW + F, \quad (x, y) \in \Omega. \quad (4)$$

Граничные условия:

$$\begin{aligned} M_n &= M_x \cos^2 \theta + M_y \sin^2 \theta - M_{xy} \sin 2\theta = M_\Gamma, \quad (x, y) \in \Gamma, \\ Q_n - \frac{\partial M_{nl}}{\partial l} &= N_\Gamma, \quad (x, y) \in \Gamma. \end{aligned} \quad (5)$$

Здесь $Q_n = Q_x \cos \theta + Q_y \sin \theta$, $M_{nl} = M_{xy}(\cos^2 \theta - \sin^2 \theta) + (M_x - M_y) \sin \theta \cos \theta$, M_x и M_y — изгибающие моменты, M_{xy} — крутящий момент, Q_x и Q_y — вертикальные перерезывающие силы:

$$\begin{aligned} M_x &= -D \left(\frac{\partial^2 W}{\partial x^2} + \sigma \frac{\partial^2 W}{\partial y^2} \right), \quad M_y = -D \left(\frac{\partial^2 W}{\partial y^2} + \sigma \frac{\partial^2 W}{\partial x^2} \right), \quad M_{xy} = (1 - \sigma) D \frac{\partial^2 W}{\partial x \partial y}, \\ Q_x &= \frac{\partial M_x}{\partial x} - \frac{\partial M_{xy}}{\partial y}, \quad Q_y = \frac{\partial M_y}{\partial y} - \frac{\partial M_{xy}}{\partial x}. \end{aligned}$$

Затем уравнение (4) было сведено к системе уравнений первого порядка по времени

$$\begin{aligned} \rho h \frac{\partial S}{\partial t} &= \frac{\partial^2 M_x}{\partial x^2} - 2 \frac{\partial^2 M_{xy}}{\partial x \partial y} + \frac{\partial^2 M_y}{\partial y^2} - aW + F, \\ \frac{\partial M_x}{\partial t} &= -D \frac{\partial^2 S}{\partial x^2} - \sigma D \frac{\partial^2 S}{\partial y^2}, \quad \frac{\partial M_y}{\partial t} = -\sigma D \frac{\partial^2 S}{\partial x^2} - D \frac{\partial^2 S}{\partial y^2}, \quad \frac{\partial W}{\partial t} = S \end{aligned} \quad (6)$$

с граничными условиями (5) и начальными условиями

$$W|_{t=0} = \varphi, \quad S|_{t=0} = \psi, \quad M_x|_{t=0} = -D(\varphi_{xx} + \sigma\varphi_{yy}), \quad M_y|_{t=0} = -D(\varphi_{yy} + \sigma\varphi_{xx}). \quad (7)$$

В [1] также построена разностная аппроксимация задачи (5)–(7) на прямоугольной сетке ω_h с границей Γ_h . Приведем эту аппроксимацию для прямоугольной пластины. Задача рассматривается на временном отрезке $[0, T]$, и вводится дискретизация по времени с шагом Δt , $t_{n+1} = t_n + \Delta t$, $n = 0, 1, \dots, m_T - 1$, $t_0 = 0$, $t_{m_T} = T$. Область $\Omega^h = \left\{ \Omega_{ij}, i = \overline{1, N_1}, j = \overline{1, N_2} \right\}$, аппроксимирующая исходную прямоугольную область Ω , содержит три основных типа ячеек: внутренние, краевые (не являющиеся угловыми) и угловые. Рассматривается сетка $\omega_h = \left\{ (x_i, y_j), i = \overline{1, N_1}, j = \overline{1, N_2} \right\}$, узлами которой являются центры ячеек Ω_{ij} . Заметим, что поскольку ось OZ , по которой отсчитывается прогиб пластины, направлена вниз, то в плане плоскости XY ось OY также направлена вниз, а нумерация ячеек и, соответственно, узлов сетки идет из верхнего левого угла сеточной области.

Вводятся разностные аналоги $[w_{ij}^n]$, $[s_{ij}^n]$, $[u_{ij}^n]$, $[v_{ij}^n]$, $[r_{ij}^n]$, $[h_{ij}]$, $[D_{ij}]$, $[f_{ij}^n]$ функций W , S , M_x , M_y , M_{xy} , h , D , F соответственно, и балансным методом строится неявная двухслойная разностная схема, представленная ниже в таблице, в которой заданы ρ , a , D_{ij} , h_{ij} , f_{ij}^n , $(i, j) \in \omega_h$, $M_{\Gamma_{ij}}^n$, $N_{\Gamma_{ij}}^n$, $(i, j) \in \Gamma_h$; w_{ij}^0 , s_{ij}^0 , u_{ij}^0 , v_{ij}^0 , r_{ij}^0 , f_{ij}^0 , $M_{\Gamma_{ij}}^0$, $N_{\Gamma_{ij}}^0$.

В приведенной аппроксимации используются обозначения

$$\phi_{ij}^{n+1/2} = \frac{\phi_{ij}^{n+1} + \phi_{ij}^n}{2}, \quad \phi_{ij}^n = (w_{ij}^n, s_{ij}^n, u_{ij}^n, v_{ij}^n, r_{ij}^n)^T, \quad D_{i+1/2, j+1/2} = \frac{D_{ij} + D_{i+1, j} + D_{i, j+1} + D_{i+1, j+1}}{4},$$

а также стандартные обозначения разностных производных [6, 7]:

$$\begin{aligned} \phi_{t, ij}^n &= \frac{\phi_{ij}^{n+1} - \phi_{ij}^n}{\Delta t}, \quad \phi_{\bar{x}, ij} = \frac{\phi_{ij} - \phi_{i-1, j}}{\Delta x}, \quad \phi_{x, ij} = \frac{\phi_{i+1, j} - \phi_{ij}}{\Delta x}, \quad \phi_{\bar{x}x, ij} = \frac{\phi_{i+1, j} - 2\phi_{ij} + \phi_{i-1, j}}{(\Delta x)^2}, \\ \phi_{\bar{x}, i, j+1/2} &= \frac{\phi_{i+1/2, j+1/2} - \phi_{i-1/2, j+1/2}}{\Delta x}, \quad \phi_{\bar{x}, \bar{y}, i+1/2, j+1/2} = \frac{\phi_{i+1, j+1} - \phi_{i, j+1} - \phi_{i+1, j} + \phi_{ij}}{\Delta x \Delta y}. \end{aligned}$$

В работе [1] для решения рассматриваемой системы разностных уравнений предложен метод расщепления по пространственным переменным. Система расщепляется на две подсистемы, в первой из которых

Внутренняя ячейка	$\rho h_{ij} s_{t,ij}^n = u_{\bar{x},ij}^{n+1/2} - 2r_{\bar{x}\bar{y},ij}^{n+1/2} + v_{\bar{y},ij}^{n+1/2} - aw_{ij}^{n+1/2} + f_{ij}^{n+1/2},$ $u_{t,ij}^n = -D_{ij} s_{\bar{x},ij}^{n+1/2} - \sigma D_{ij} s_{\bar{y},ij}^{n+1/2}, \quad v_{t,ij}^n = -\sigma D_{ij} s_{\bar{x},ij}^{n+1/2} - D_{ij} s_{\bar{y},ij}^{n+1/2};$
Краявая левая ячейка	$\rho h_{1j} s_{t,1j}^n = \frac{1}{\Delta x} u_{x,1j}^{n+1/2} - \frac{2}{\Delta x} r_{\bar{y},3/2,j}^{n+1/2} + v_{\bar{y},1j}^{n+1/2} - aw_{1j}^{n+1/2} + \frac{N_{\Gamma_{\pi j}}^{n+1/2}}{\Delta x} + f_{1j}^{n+1/2},$ $u_{1j}^{n+1} = M_{\Gamma_{\pi j}}^{n+1}, \quad v_{t,1j}^n = -(1 - \sigma^2) D_{1j} s_{\bar{y},1j}^{n+1/2} + \sigma M_{\Gamma_{\pi t,j}}^n;$
Краявая правая ячейка	$\rho h_{N_1 j} s_{t,N_1 j}^n = -\frac{1}{\Delta x} u_{\bar{x},N_1 j}^{n+1/2} + \frac{2}{\Delta x} r_{\bar{y},N_1-1/2,j}^{n+1/2} + v_{\bar{y},N_1 j}^{n+1/2} - aw_{N_1 j}^{n+1/2} + \frac{N_{\Gamma_{\pi p j}}^{n+1/2}}{\Delta x} + f_{N_1 j}^{n+1/2},$ $u_{N_1 j}^{n+1} = M_{\Gamma_{\pi p j}}^{n+1}, \quad v_{t,N_1 j}^n = -(1 - \sigma^2) D_{N_1 j} s_{\bar{y},N_1 j}^{n+1/2} + \sigma M_{\Gamma_{\pi p t,j}}^n;$
Краявая верхняя ячейка	$\rho h_{i1} s_{t,i1}^n = u_{\bar{x},i1}^{n+1/2} - \frac{2}{\Delta y} r_{\bar{x},i,3/2}^{n+1/2} + \frac{1}{\Delta y} v_{y,i1}^{n+1/2} - aw_{i1}^{n+1/2} + \frac{N_{\Gamma_{\pi i}}^{n+1/2}}{\Delta y} + f_{i1}^{n+1/2},$ $u_{t,i1}^n = -(1 - \sigma^2) D_{i1} s_{\bar{x},i1}^{n+1/2} + \sigma M_{\Gamma_{\pi t,i}}^n, \quad v_{i1}^{n+1} = M_{\Gamma_{\pi i}}^{n+1};$
Краявая нижняя ячейка	$\rho h_{iN_2} s_{t,iN_2}^n = u_{\bar{x},iN_2}^{n+1/2} + \frac{2}{\Delta y} r_{\bar{x},i,N_2-1/2}^{n+1/2} - \frac{1}{\Delta y} v_{\bar{y},iN_2}^{n+1/2} - aw_{iN_2}^{n+1/2} + \frac{N_{\Gamma_{\pi i}}^{n+1/2}}{\Delta y} + f_{iN_2}^{n+1/2},$ $u_{t,iN_2}^n = -(1 - \sigma^2) D_{iN_2} s_{\bar{x},iN_2}^{n+1/2} + \sigma M_{\Gamma_{\pi t,i}}^n, \quad v_{iN_2}^{n+1} = M_{\Gamma_{\pi i}}^{n+1};$
Угловая верхняя левая ячейка	$\rho h_{11} s_{t,11}^n = \frac{1}{\Delta x} u_{x,11}^{n+1/2} + \frac{1}{\Delta y} v_{y,11}^{n+1/2} - aw_{11}^{n+1/2} + \frac{N_{\Gamma_{\pi 1}}^{n+1/2}}{\Delta x} + \frac{N_{\Gamma_{\pi 1}}^{n+1/2}}{\Delta y} + f_{11}^{n+1/2},$ $u_{11}^{n+1} = M_{\Gamma_{\pi 1}}^{n+1}, \quad v_{11}^{n+1} = M_{\Gamma_{\pi 1}}^{n+1};$
Угловая нижняя левая ячейка	$\rho h_{1N_2} s_{t,1N_2}^n = \frac{1}{\Delta x} u_{x,1N_2}^{n+1/2} - \frac{1}{\Delta y} v_{\bar{y},1N_2}^{n+1/2} - aw_{1N_2}^{n+1/2} + \frac{N_{\Gamma_{\pi N_2}}^{n+1/2}}{\Delta x} + \frac{N_{\Gamma_{\pi 1}}^{n+1/2}}{\Delta y} + f_{1N_2}^{n+1/2},$ $u_{1N_2}^{n+1} = M_{\Gamma_{\pi N_2}}^{n+1}, \quad v_{1N_2}^{n+1} = M_{\Gamma_{\pi 1}}^{n+1};$
Угловая верхняя правая ячейка	$\rho h_{N_1 1} s_{t,N_1 1}^n = -\frac{1}{\Delta x} u_{\bar{x},N_1 1}^{n+1/2} + \frac{1}{\Delta y} v_{y,N_1 1}^{n+1/2} - aw_{N_1 1}^{n+1/2} + \frac{N_{\Gamma_{\pi p 1}}^{n+1/2}}{\Delta x} + \frac{N_{\Gamma_{\pi N_1}}^{n+1/2}}{\Delta y} + f_{N_1 1}^{n+1/2},$ $u_{N_1 1}^{n+1} = M_{\Gamma_{\pi p 1}}^{n+1}, \quad v_{N_1 1}^{n+1} = M_{\Gamma_{\pi N_1}}^{n+1};$
Угловая нижняя правая ячейка	$\rho h_{N_1 N_2} s_{t,N_1 N_2}^n = -\frac{1}{\Delta x} u_{\bar{x},N_1 N_2}^{n+1/2} - \frac{1}{\Delta y} v_{\bar{y},N_1 N_2}^{n+1/2} - aw_{N_1 N_2}^{n+1/2} + \frac{N_{\Gamma_{\pi p N_2}}^{n+1/2}}{\Delta x} + \frac{N_{\Gamma_{\pi N_1}}^{n+1/2}}{\Delta y} + f_{N_1 N_2}^{n+1/2},$ $u_{N_1 N_2}^{n+1} = M_{\Gamma_{\pi p N_2}}^{n+1}, \quad v_{N_1 N_2}^{n+1} = M_{\Gamma_{\pi N_1}}^{n+1};$
Аппроксимация последнего уравнения системы (6) для всех ячеек имеет вид $u_{t,ij}^n = s_{ij}^{n+1/2}$.	

невяно аппроксимируются только разностные производные по x , а во второй — по y . Для эффективного решения каждой из этих подсистем, перенумеровав определенным образом неизвестные, получим систему линейных алгебраических уравнений с девятидиагональной матрицей, которая решается методом прогонки, при этом прогоночные коэффициенты вычисляются в четыре этапа. Результаты тестовых расчетов показали высокую эффективность предложенного метода решения задачи.

2. Результаты расчетов колебаний плавающего ледяного покрова при посадке самолетов на ледовые аэродромы. Задачу о колебаниях плавающего ледяного покрова под действием различных динамических нагрузок можно рассматривать как задачу о колебаниях тонкой упругой пластины, лежащей на жидком основании, на верхнюю поверхность которой действует внешняя сила $f(x, y, t)$, а на

нижнюю поверхность — выталкивающая архимедова сила и сила, обусловленная потенциальным течением жидкости под ледяным покровом. Отметим, что в подобной постановке задача о колебаниях ледяного покрова рассматривалась в работах многих авторов (см., например, [8–13]). В качестве математического аппарата исследований в этих работах применялся аналитический метод решения: перемещение по льду плоского фронта давления задавалось в правой части уравнения δ -функцией вида $P\delta(x - vt)$, где P — сила, действующая на поверхность ледяного покрова, δ -функция представлялась в виде интеграла Фурье, и решение задачи для прогиба пластины и потенциала течения жидкости подо льдом получалось также в виде интегралов. Численные методы с непосредственной аппроксимацией уравнения поперечных колебаний тонких упругих пластин для решения рассматриваемых прикладных задач в этих работах практически не применялись. Как было отмечено во введении, в работе [3] на основе рассматриваемого разностного метода было проведено численное моделирование процесса распространения поперечных колебаний в плавающем ледяном покрове при движении по нему автомобильного транспорта. Другой важной прикладной задачей является расчет поперечных прогибов плавающего ледяного покрова и возникающих в нем напряжений при посадке на него тяжелых транспортных самолетов. Такие постоянно действующие ледовые аэродромы расположены в Антарктиде.

Уравнение поперечных колебаний ледяного покрова на поверхности воды в приближении тонкой упругой пластины имеет вид (1):

$$\rho h W_{tt} + \Delta(D\Delta W) - (1 - \sigma)(D_{yy}W_{xx} - 2D_{xy}W_{xy} + D_{xx}W_{yy}) = F - \rho_v g W,$$

где $\rho_v g W$ — выталкивающая архимедова сила, действующая со стороны воды на нижнюю поверхность ледяного покрова; $F = f - \rho_v \frac{\partial \phi}{\partial t} \Big|_{z=z_1}$, f — динамическая нагрузка техногенного характера на поверхности ледяного покрова, а последний член описывает динамическое воздействие, обусловленное потенциальным течением жидкости под ледяным покровом.

Потенциал движения жидкости ϕ отражает собственные колебания в системе лед–жидкость, он удовлетворяет уравнению Лапласа и условиям непроницаемости на дне водоема. Поскольку совместное решение уравнения колебаний ледяного покрова и уравнений течения жидкости подо льдом представляет значительные вычислительные сложности, потенциал движения жидкости можно задать, например, в виде плоской волны давления [8, 9]. Однако для сплошного толстого ледяного покрова в районах размещения ледовых аэродромов собственные колебания в системе лед–жидкость, согласно экспериментальным данным, малы и при численном моделировании действия техногенных нагрузок на ледяной покров они не учитывались.

При поперечных колебаниях ледяного покрова происходит его растяжение и сжатие. Компоненты тензора напряжений, определяемые из закона Гука, для тонкой упругой пластины выражаются формулами $\sigma_{xx} = 12z \frac{M_x}{h^3}$, $\sigma_{yy} = 12z \frac{M_y}{h^3}$, $\sigma_{xy} = -12z \frac{M_{xy}}{h^3}$. На каждом временном шаге работы компьютерной программы вычисляются разностные аналоги u_{ij}^n , v_{ij}^n , r_{ij}^n моментов M_x , M_y , M_{xy} соответственно. Так как максимальные по модулю растягивающие и сжимающие напряжения возникают на поверхностях ледяного покрова, находим при $z = \pm h/2$ максимальное по модулю по сеточной области ω_h значение напряжений. При достижении этой величиной предельных значений прочности льда на растяжение или сжатие можно сделать вывод о том, что на n -м временном шаге произойдет необратимая деформация и лед будет разрушаться.

С помощью созданного авторами программного комплекса были проведены численные эксперименты по изучению распространения поперечных колебаний ледяного покрова на поверхности воды при посадке на него самолетов. В численных экспериментах задавались следующие значения физических параметров ледяного покрова: модуль упругости $E = 5 \times 10^9$ н/м² [11], коэффициент Пуассона $\sigma = 0.33$ [11], прочность льда на растяжение $0.5 \div 1.0$ МПа, прочность на сжатие $-3 \div -2$ МПа [14, 15]. Моделировалась задача о колебаниях ледяного покрова постоянной толщины со свободным краем (в условиях (2) $M_\Gamma = 0$ и $N_\Gamma = 0$ соответственно). В расчетах рассматривался ледяной покров с линейными размерами 2500 м \times 250 м. Размеры сетки — 5000×500 узлов при одинаковых шагах сетки $\Delta x = \Delta y = 0.5$ м — позволили учитывать давление на лед каждого колеса шасси самолета.

На рис. 1 представлены схемы распределения нагрузки на лед от шасси самолетов ИЛ–76ТД и С–130Н Hercules, размеры приведены в метрах, каждый прямоугольник обозначает соответствующую стойку шасси самолета, а каждый квадрат внутри обозначает отдельное колесо, крестиками обозначены узлы сетки, в которых задается нагрузка от каждого колеса.

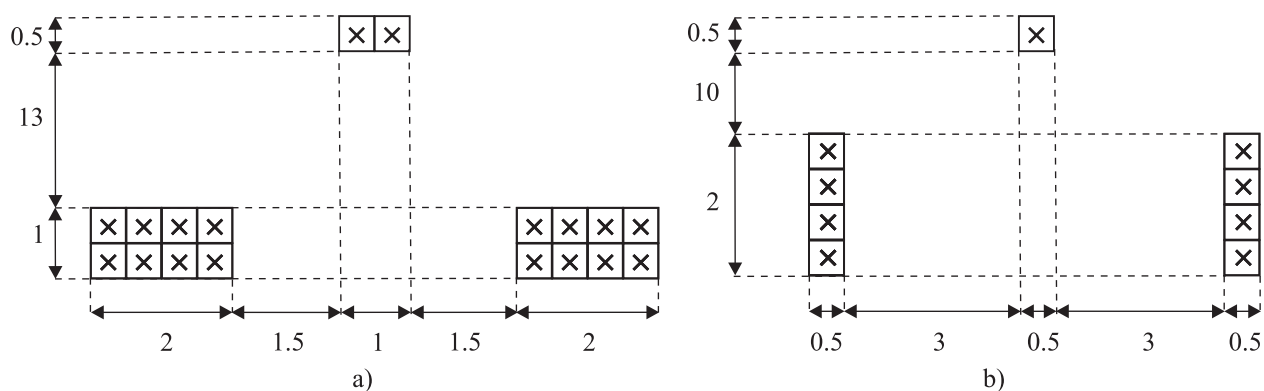


Рис. 1. Схема распределения нагрузки на лед от шасси самолетов:
 а) ИЛ-76ТД, б) С-130Н Hercules

На рис. 2 и 3 представлены результаты численного моделирования посадки самолета ИЛ-76 массой 151.5 тонны со скоростью 55 м/с на ледяной покров толщиной 5 м. На рис. 2 представлена волновая картина поперечных прогибов ледяного покрова во времени (на нижних рисунках волновая картина в поперечном разрезе по линии движения центра передней стойки шасси).

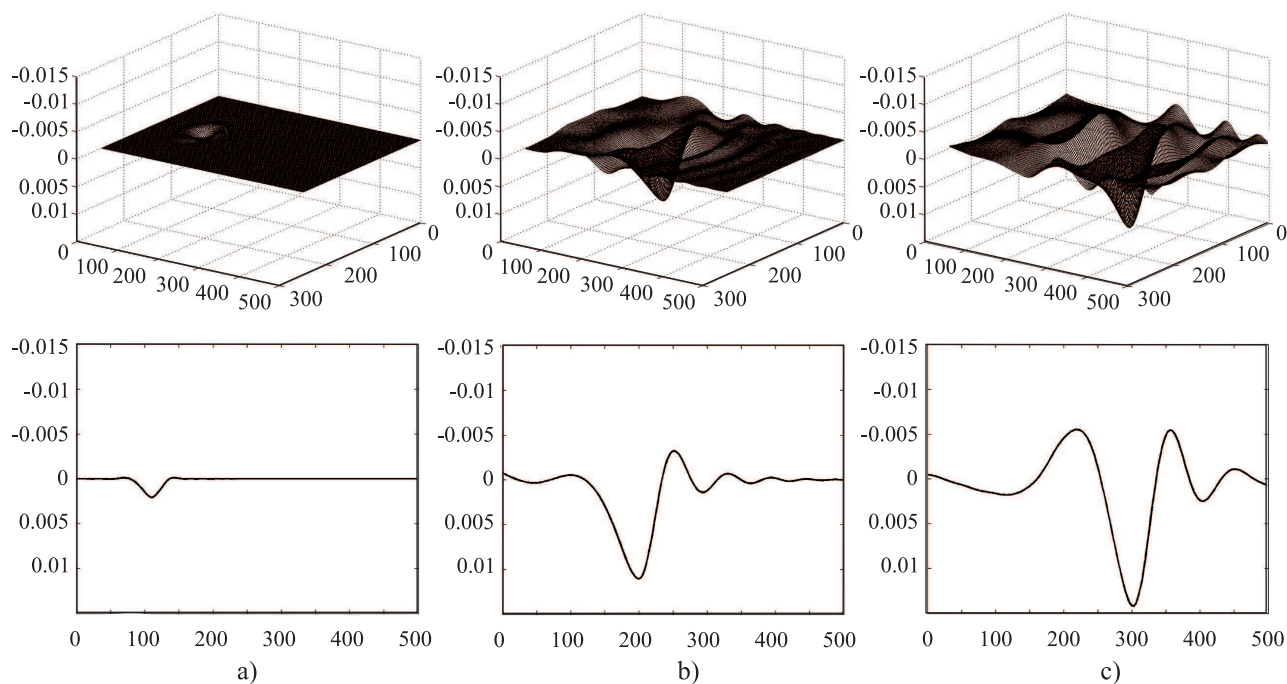


Рис. 2. Результаты расчета значений поперечных прогибов льда W [м] при посадке самолета ИЛ-76ТД. Параметры расчета: масса самолета — 151.5 т; начальная скорость — 55 м/с; толщина льда — 5 м:
 а) $n = 2000$, б) $n = 20000$, в) $n = 40000$

На рис. 3 представлены значения нормальной компоненты тензора напряжений σ_{xx} во времени. На этом рисунке можно видеть максимальное напряжение, возникающее под задними стойками шасси самолета, и локальный максимум напряжений от передней стойки шасси. Разрушения льда в проведенном расчете не происходит.

На рис. 4 представлена волновая картина поперечных прогибов ледяного покрова во времени по результатам расчета посадки самолета С-130Н Hercules массой 50 т со скоростью 50 м/с на ледяной покров толщиной 2.5 м. Разрушения льда в проведенном расчете не происходит.

Результаты расчета значений поперечных прогибов льда (рис. 4) сравнивались с результатами моделирования посадки самолета С-130Н Hercules на ледовый аэродром McMurdo Sound в Антарктиде, полученными в [11] на основе аналитического метода решения и аппроксимации результирующего интеграла квадратурной формулой. Максимальная расчетная величина прогиба (рис. 4) составила 13 мм, а в

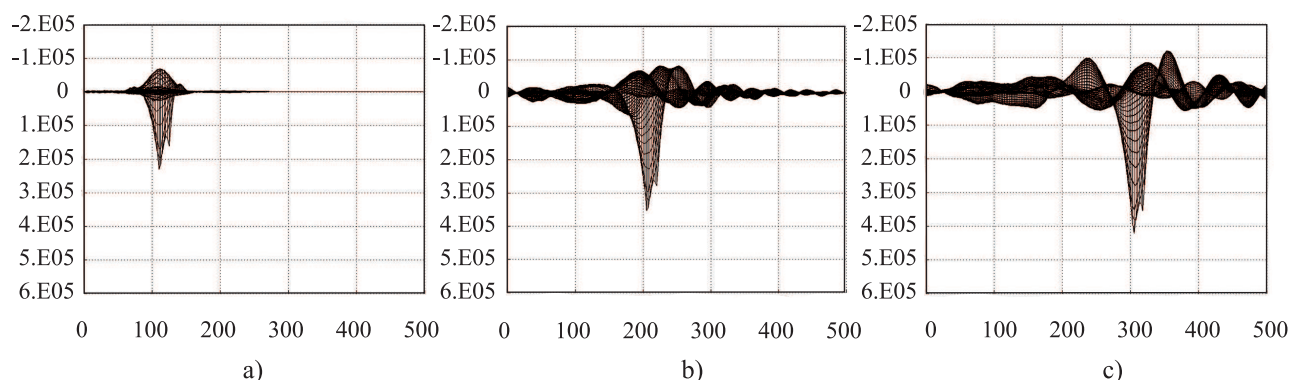


Рис. 3. Результаты расчета значений нормальной компоненты тензора напряжений σ_{xx} [Па] при посадке самолета ИЛ-76ТД на плавающий лед. Параметры расчета: масса самолета — 151.5 т; начальная скорость — 55 м/с; толщина льда — 5 м: а) $n = 2000$, б) $n = 20000$, в) $n = 40000$

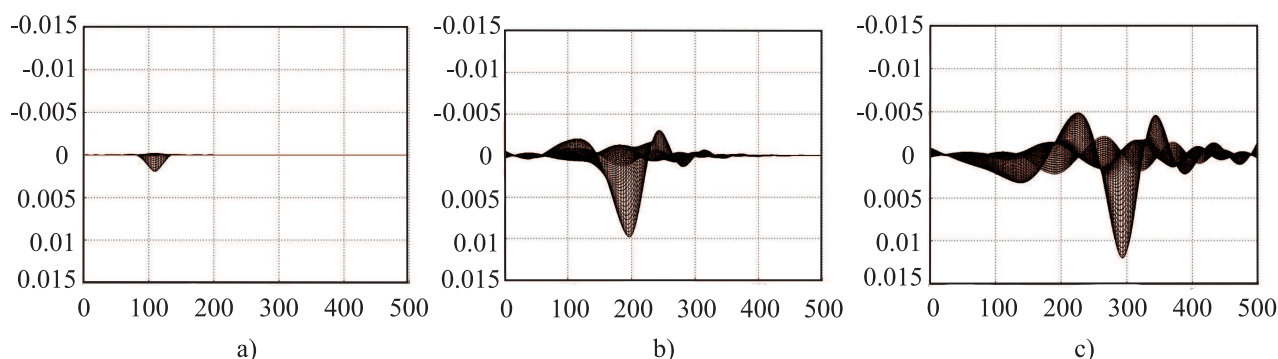


Рис. 4. Результаты расчета значений поперечных прогибов льда W [м] при посадке самолета С-130Н Hercules. Параметры расчета: масса самолета — 50 т; начальная скорость — 50 м/с; толщина льда — 2.5 м: а) $n = 2000$, б) $n = 20000$, в) $n = 40000$

работе [11] — приблизительно 3.5 мм. Однако можно утверждать, что результаты, полученные в настоящей работе, точнее, так как более точно задается нагрузка на лед при посадке самолета как по форме задания, так и по распределению нагрузки по площади. Так, в рассматриваемой модели с шагом сетки 0.5 м учитывается реальная нагрузка и от всех колес шасси самолета (рис. 1б), а в работе [11] нагрузка задается грубо с помощью δ -функции вида $P\delta(x - vt)$, и она равномерно распределена на площади 1.5 м \times 2.5 м.

В ходе численных экспериментов было также проведено исследование предельной толщины ледяного покрова, при которой не происходит его разрушения. В качестве критериев разрушения выбирались минимальные значения прочности на растяжение и сжатие. Для самолета ИЛ-76ТД массой 151.5 т минимальная толщина льда, при которой минимальные значения прочности на растяжение и сжатие не достигались, равна 4.2 м. Для самолета С-130Н Hercules массой 50 т минимальная толщина льда, при которой минимальные значения прочности на растяжение и сжатие не достигались, равна 1.7 м.

СПИСОК ЛИТЕРАТУРЫ

1. Кулешов А.А. О численном методе решения задачи поперечных колебаний тонких упругих пластин // Матем. моделирование. 2005. **17**, № 4. 11–26.
2. Кулешов А.А., Мымрин В.В., Разгулин А.В. О сильной сходимости разностных аппроксимаций в задаче поперечных колебаний тонких упругих пластин // Журн. вычисл. матем. и матем. физики. 2009. **49**, № 1. 152–177.
3. Кулешов А.А., Мымрин В.В. Моделирование колебаний плавающего льда в приближении тонкой упругой пластины // Матем. моделирование. 2009. **21**, № 6. 28–40.
4. Тимошенко С.П., Войновский-Кригер С. Пластинки и оболочки. М.: Физматлит, 1963.
5. Ландау Л.Д., Лифшиц Е.М. Теория упругости. М.: Наука, 1987.
6. Самарский А.А. Теория разностных схем. М.: Наука, 1977.
7. Самарский А.А., Гудин А.В. Численные методы. М.: Наука, 1989.
8. Хейсин Д.Е. Динамика ледяного покрова. Л.: Гидрометеоздат, 1967.

9. *Schulkes R.M.S.M., Sneyd A.D.* Time-dependent response of floating ice to a steadily moving load // *J. Fluid Mech.* 1988. **186**. 25–46.
10. *Miles J., Sneyd A.D.* The response of a floating ice sheet to an accelerating line load // *J. Fluid Mech.* 2003. **497**. 435–439.
11. *Milinazzo F., Shinbrot M., Evans N.W.* A mathematical analysis of the steady response of floating ice to the uniform motion of a rectangular load // *J. Fluid Mech.* 1995. **287**. 173–197.
12. *Părău E., Dias F.* Nonlinear effects in the response of a floating ice plate to a moving load // *J. Fluid Mech.* 2002. **460**. 281–305.
13. *Dempsey J.P., Zhao Z.G.* Elastohydrodynamic response of an ice sheet to forced sub-surface uplift // *J. Mech. Phys. Solids.* 1993. **41**, N 3. 487–506.
14. *Богородский В.В., Гаврило В.П.* Лед. Физические свойства. Современные методы гляциологии. Л.: Гидрометеиздат, 1980.
15. *Одиноков В.И., Сергеева А.М.* Эволюция процесса нарушения сплошности при разрушении ледяного покрова // *Прикл. матем. и техн. физика.* 2008. **49**, № 1. 114–119.

Поступила в редакцию
27.11.2009
